

## К ТЕОРИИ СВЕРХПРОВОДНИКОВ С “НЕЧЕТНЫМ” СПАРИВАНИЕМ

Э.З. Кучинский, М.В. Садовский, М.А. Эркабаев

Институт электрофизики Уральского отделения Российской академии наук  
620219, Екатеринбург, Россия

Поступила в редакцию 22 июня 1993 г.

Рассматривается модель сверхпроводящего спаривания с щелевой функцией, нечетной по  $k - k_F$ . В этом случае сверхпроводимость возможна даже в присутствии сколь угодно сильного точечного отталкивания между электронами, что привлекательно с точки зрения теории ВТСП металлооксидов. Предложено модельное спаривающее взаимодействие, при котором уравнения теории БКШ решаются точно, что позволяет провести полный анализ областей существования обычного (“четного”) и “нечетного” спаривания в зависимости от параметров взаимодействия. Показано, что нормальные примеси (беспорядок) приводят к чрезвычайно сильному подавлению нечетного спаривания, более мощному, чем в случае магнитных примесей в традиционных сверхпроводниках.

### 1. Введение

Традиционная теория сверхпроводимости БКШ [1] основана на предположении о существовании вблизи поверхности Ферми эффективного притяжения электронов с противоположными импульсами и спинами. При этом считается, что это притягивающее взаимодействие в некотором смысле превышает кулоновское отталкивание электронов хотя бы в части фазового пространства, что и рассматривается как необходимое условие перехода системы в сверхпроводящее состояние при низких температурах. Естественно, что сильное отталкивание электронов в моделях типа Хаббарда, широко используемых для описания электронных свойств металлооксидов, с этой точки зрения является фактором, препятствующим сверхпроводимости. Представляет интерес рассмотрение моделей, в которых влияние такого отталкивания сильно подавлено или вообще отсутствует. Одна из моделей подобного рода была предложена в недавней работе Мила и Абрахамса [2]. В ее основе лежит предположение о том, что щелевая функция теории БКШ  $\Delta(k, \omega)$  зависит только от  $|k|$ , а точнее — от энергии квазичастиц  $\xi_k = v_F(|k| - k_F)$ , отсчитанной от уровня Ферми, причем является нечетной функцией этого аргумента. В этом случае в приближении БКШ сверхпроводимость оказывается возможной и при сколь угодно сильном точечном отталкивании между электронами. Физически очевидно, что такое состояние может реализоваться при достаточно сильном отталкивании, когда обычная (“четная”) сверхпроводимость подавлена. Ссылки на более ранние работы, в которых рассматривалось “нечетное” спаривание, можно найти в [3].

Целью настоящей работы является более подробный, чем в [2], анализ задачи о нечетном спаривании и его соотношении с обычным четным случаем, на основе простейшего приближения слабой связи и использования модель-

ного спаривательного взаимодействия, допускающего точное решение уравнений теории БКШ. Последнее обстоятельство позволяет детально рассмотреть основные идеи изучаемой модели и найти аналитические решения, которые легко сравнить с результатами работы [2], полученными численным решением интегральных уравнений БКШ для более "реалистического" взаимодействия. Кроме того, в работе рассмотрена задача о влиянии нормальных примесей на нечетное спаривание обсуждаемого типа. Это влияние оказывается необычно сильным [4], сверхпроводимость подавляется даже быстрее, чем в случае введения магнитных примесей в традиционные сверхпроводники. Задача решается как с модельным взаимодействием, допускающим точное решение, так и численными методами в случае "реалистичного" взаимодействия, предложенного в работе [2]. Несмотря на очевидную привлекательность рассматриваемого вида спаривания для объяснения высокотемпературной сверхпроводимости металлооксидов, чрезвычайная чувствительность к разупорядочению делает его маловероятным в применении к ВТСП-купратам.

## 2. Уравнения для щели и температуры перехода

В основе рассматриваемой модели лежит демонстрация того факта [2], что уравнение слабой связи для щели в теории БКШ [1]

$$\Delta(\xi) = -N(0) \int_{-\infty}^{\infty} d\xi' V(\xi, \xi') \frac{\Delta(\xi')}{2\sqrt{\xi'^2 + \Delta^2(\xi')}} \operatorname{th} \left( \frac{\sqrt{\xi'^2 + \Delta^2(\xi')}}{2T} \right) \quad (1)$$

может иметь нетривиальное решение  $\Delta(\xi) = -\Delta(-\xi)$  (т.е. нечетное по  $k - k_F$ ,  $\xi = v_F(k - k_F)$ ), при наличии в  $V(\xi, \xi')$  притягивающего взаимодействия даже в присутствии сильного (бесконечного) точечного отталкивания. Легко видеть [2], что для нечетной щелевой функции  $\Delta(\xi)$  отталкивателльная часть взаимодействия в (1) просто выпадает, а притяжение может обеспечить спаривание с нетривиальными свойствами:  $\Delta(\xi)$  обращается в нуль на Ферми-поверхности, что ведет к бесщелевой сверхпроводимости. Следует подчеркнуть, что речь идет об изотропной модели, в которой щель обращается в нуль всюду на поверхности Ферми, что отличает рассматриваемую модель от случая анизотропного спаривания, например,  $d$ -типа [3].

Итак, в дальнейшем мы считаем, что взаимодействие в уравнении (1) состоит из двух вкладов:  $V(\xi, \xi') = V_1(\xi, \xi') + V_2(\xi, \xi')$ , где

$$V_1(\xi, \xi') = \begin{cases} U > 0 & \text{при } |\xi|, |\xi'| < E_F \\ 0 & \text{при } |\xi|, |\xi'| > E_F \end{cases} \quad (2)$$

— точечное отталкивание электронов, а  $V_2(\xi, \xi')$  — эффективное спаривающее взаимодействие (притяжение), которое отлично от нуля при  $|\xi|, |\xi'| < \omega_c$  и  $|\xi - \xi'| < \omega_c$  (последнее ограничение является принципиально важным), где  $\omega_c \ll E_F$  играет роль характерной частоты бозонов, обмен которыми обеспечивает спаривание. "Потенциал" спаривания  $V_2(\xi, \xi')$  можно представлять различными модельными зависимостями, например ступенькой [2]. В работе [2] особое внимание было удалено взаимодействию следующего вида:

$$V_2(\xi, \xi') = \begin{cases} -V(|\xi - \xi'|/\omega_c)^{-2/3} & \text{при } |\xi|, |\xi'|, |\xi - \xi'| < \omega_c \\ 0 & \text{при } |\xi|, |\xi'| \text{ или } |\xi - \xi'| > \omega_c \end{cases}, \quad (3)$$

которое было выбрано исключительно из желания получить туннельную плотность состояний в сверхпроводнике  $N_T(E) \propto |E|^2$  при  $E \rightarrow 0$ .

Интегральное уравнение БКШ (1) с таким взаимодействием  $V_2(\xi, \xi')$  решалось в [2] численными методами, причем удалось получить ряд результатов, качественно соответствующих свойствам ВТСП-соединений.

В данной работе мы рассматриваем, в основном, модельное взаимодействие вида [4]

$$V_2(\xi, \xi') = \begin{cases} -V \cos \left( \frac{\pi}{2} \frac{\xi - \xi'}{\omega_c} \right) & \text{при } |\xi|, |\xi'|, |\xi - \xi'| < \omega_c \\ 0 & \text{при } |\xi|, |\xi'| \text{ или } |\xi - \xi'| > \omega_c \end{cases}. \quad (4)$$

Основным преимуществом такого выбора является то обстоятельство, что в данном случае интегральное уравнение для щели сводится к трансцендентному и легко решается. Выбор (4) не является в этом смысле единственным, можно предложить еще целый ряд "потенциалов", обладающих такими же свойствами. Например, можно использовать взаимодействие  $V_2(\xi, \xi')$ , пропорциональное  $\operatorname{ch}(\xi - \xi')$  или  $(\xi - \xi')^2$ . Однако в случае (4) удается получить результаты, которые в определенном смысле наиболее близки к полученным с помощью "реалистического" взаимодействия (3) (например, для плотности состояний). Большинство качественных выводов вообще не зависит от выбора модельного "потенциала". Важность модельного потенциала (4) связана, очевидно, еще и с тем, что практически любое взаимодействие, представляющее собой четную функцию  $\xi - \xi'$  в интервале от  $-\omega_c$  до  $\omega_c$ , может быть записано в виде ряда Фурье по косинусам. В этом смысле наше рассмотрение дает основу для анализа самого общего случая.

Заметим, что действительно реалистический выбор взаимодействия  $V(\xi, \xi')$  следовало бы вести в рамках диэлектрического формализма теории сверхпроводимости [5, 6], где удается получить весьма общие выражения для интегрального ядра в теории БКШ. Однако при этом не вполне ясно, как можно получить нетривиальную зависимость ядра от аргумента  $|\xi - \xi'|$ , поскольку для диэлектрического формализма типична зависимость ядра  $V(\xi, \xi')$  от переменных  $|\xi|$  и  $|\xi'|$  по отдельности [5, 6].

Температура сверхпроводящего перехода определяется линеаризованным уравнением

$$\Delta(\xi) = -N(0) \int_{-\infty}^{\infty} d\xi' V(\xi, \xi') \frac{\Delta(\xi')}{2\xi'} \operatorname{th} \left( \frac{\xi'}{2T_c} \right). \quad (5)$$

Используя (2) и (4), имеем

$$\Delta(\xi) = g \int_{-\omega_c}^{\omega_c} d\xi' \cos \left( \frac{\pi}{2} \frac{\xi - \xi'}{\omega_c} \right) \frac{\Delta(\xi')}{2\xi'} \operatorname{th} \left( \frac{\xi'}{2T_c} \right) - \mu \int_{-E_F}^{E_F} d\xi' \frac{\Delta(\xi')}{2\xi'} \operatorname{th} \left( \frac{\xi'}{2T_c} \right) \quad (6)$$

при  $|\xi| < \omega_c$ , а при  $\omega_c < |\xi| < E_F$

$$\Delta(\xi) = -\mu \int_{-E_F}^{E_F} d\xi' \frac{\Delta(\xi')}{2\xi'} \operatorname{th} \left( \frac{\xi'}{2T_c} \right), \quad (7)$$

где введены, как обычно, безразмерные константы спаривательного и отталкивателяного взаимодействия:  $g = N(0)V$ ,  $\mu = N(0)U$ .

Общее решение уравнений (6), (7) имеет вид

$$\Delta(\xi) = \begin{cases} \Delta_c \cos \left( \frac{\pi}{2} \frac{\xi}{\omega_c} \right) + \Delta_s \sin \left( \frac{\pi}{2} \frac{\xi}{\omega_c} \right) + \Delta & \text{при } |\xi| < \omega_c \\ \Delta & \text{при } \omega_c < |\xi| < E_F \end{cases}, \quad (8)$$

$\Delta_c$ ,  $\Delta_s$ ,  $\Delta$  определяются из алгебраической системы уравнений

$$\Delta_c = gF_c \Delta_c + gF\Delta, \quad (9)$$

$$\Delta = -\mu F \Delta_c - \mu W' \Delta,$$

$$\Delta_s = gF_s \Delta_s, \quad (10)$$

где

$$\begin{aligned} F_c &= \int_0^{\omega_c} d\xi \cos^2 \left( \frac{\pi}{2} \frac{\xi}{\omega_c} \right) \frac{1}{\xi} \operatorname{th} \left( \frac{\xi}{2T_c} \right), \\ F_s &= \int_0^{\omega_c} d\xi \sin^2 \left( \frac{\pi}{2} \frac{\xi}{\omega_c} \right) \frac{1}{\xi} \operatorname{th} \left( \frac{\xi}{2T_c} \right), \\ F &= \int_0^{\omega_c} d\xi \cos \left( \frac{\pi}{2} \frac{\xi}{\omega_c} \right) \frac{1}{\xi} \operatorname{th} \left( \frac{\xi}{2T_c} \right), \quad (11) \\ W &= \int_0^{\omega_c} d\xi \frac{1}{\xi} \operatorname{th} \left( \frac{\xi}{2T_c} \right), \\ W' &= \int_0^{E_F} d\xi \frac{1}{\xi} \operatorname{th} \left( \frac{\xi}{2T_c} \right). \end{aligned}$$

Видим, что уравнение (10), определяющее  $T_c$  для нечетного спаривания, является независимым от системы уравнений (9), определяющей  $T_c$  для четного случая. Отталкивательное взаимодействие влияет только на четное спаривание, и из (9) получаем следующее трансцендентное уравнение для  $T_c$ :

$$1 = gF_c - g\mu \frac{F^2}{1 + \mu W'}, \quad (12)$$

что может быть переписано как

$$1 = gF_c - \mu^* W + \mu^* g(F_c W - F^2), \quad (13)$$

где введен кулоновский псевдопотенциал

$$\mu^* = \frac{\mu}{1 + \mu(W' - W)},$$

в котором в области слабой связи, когда  $T_c \ll \omega_c$ , величина  $W' - W$  принимает обычное значение  $\ln(E_F/\omega_c)$ .

Температура перехода в нечетное состояние определяется из уравнения

$$1 = gF_s = g \int_0^{\omega_c} d\xi \sin^2 \left( \frac{\pi}{2} \frac{\xi}{\omega_c} \right) \frac{1}{\xi} \operatorname{th} \left( \frac{\xi}{2T_c} \right). \quad (14)$$

В Приложении мы выводим уравнения (12), (14) исходя из задачи о куперовской неустойчивости нормального состояния.

На рис. 1 представлены результаты численного решения уравнений (12) и (14) для различных значений констант взаимодействия  $g$  и  $\mu$ . Видно, что при слабом отталкивателном взаимодействии доминирует четное спаривание: температура соответствующего перехода выше температуры перехода в

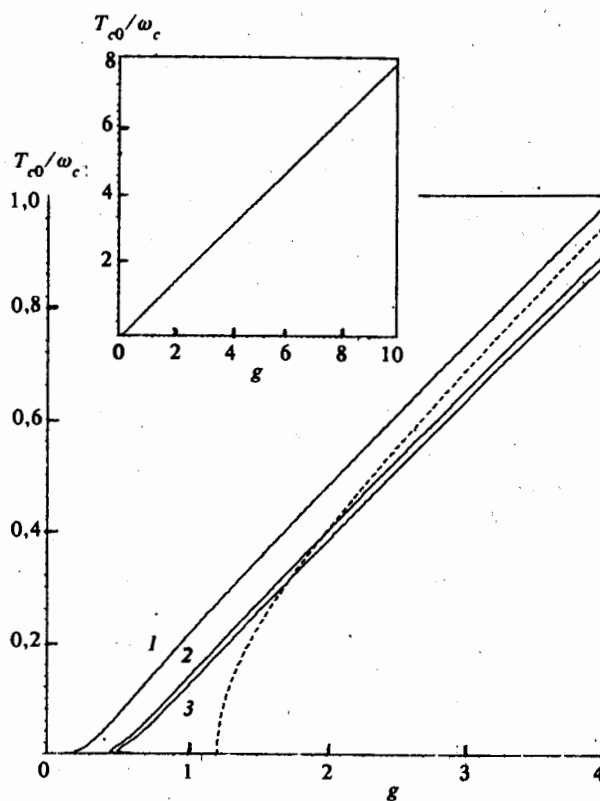


Рис. 1. Зависимость  $T_{c0}$  от спаривающей константы связи  $g = N(0)V$  в случае четного (сплошные линии) и нечетного (штриховая) спаривания: 1 —  $\mu = 0$ ; 2 —  $\mu = 1$ ; 3 —  $\mu = 10$ . В расчетах принималось  $E_F/\omega_c = 50$ . На вставке — аналогичная зависимость для "реалистического" взаимодействия (3).

состояние с нечетной щелью. С ростом отталкивания ситуация меняется и при больших  $g$  более выгодным становится нечетное спаривание. Заметим, что в модели (4) существует критическое значение спаривательной константы связи: нечетное спаривание возникает лишь при  $g > g_c \approx 1,213$ . Таким образом, при рассмотрении нечетного спаривания мы формально выходим за пределы применимости приближения слабой связи, для которого получены уравнения БКШ.

В этом смысле результаты, представленные на рис. 1, в области больших констант связи носят довольно условный характер. В частности, практически линейный рост  $T_c$  с ростом  $g$ , который виден на рис. 1, вряд ли имеет область применимости и связан с неразумной экстраполяцией уравнений БКШ, полученных в приближении слабой связи, на область больших  $g$ . Фактически здесь следовало бы провести более корректное рассмотрение в духе известной работы [7], в которой был последовательно прослежен переход от "рыхлых" куперовских пар в приближении слабой связи к компактным бозонам, возникающим в пределе очень сильного спаривательного взаимодействия. Известно, что при этом с ростом  $g$  происходит насыщение температуры  $T_c$ , определяющейся (при больших  $g$ ) известной формулой для температуры бозе-конденсации в газе бозонов, в которой зависимость от  $g$  фактически отсутствует.

Критическое значение  $g_c$  константы связи в задаче о нечетном спаривании формально отсутствует при использовании спаривательного взаимодействия (3), что, очевидно, является следствием его расходности при  $|\xi - \xi'| \rightarrow 0$ . Соответствующая зависимость  $T_c$  от  $g = N(0)V$  для задачи о нечетном спаривании, полученная прямым численным решением уравнения (5) с потенциалом (3) приведена на вставке рис. 1. В то же время ясно, что и в этом случае нечетное спаривание начинает доминировать над четным только в случае достаточно большого отталкивания. Заметим, что и рассмотрение предела сильного отталкивания в рамках модели БКШ вряд ли является вполне оправданным, поскольку учитывает только простейшую фоковскую поправку по межэлектронному взаимодействию. Ясно, что таким образом нельзя корректно рассмотреть предел  $\mu \rightarrow \infty$ . Вместе с тем, приведенное выше формальное решение уравнений БКШ, по-видимому, правильно отражает качественную картину перехода от традиционного четного к нечетному спариванию.

Рассмотрим теперь температурное поведение щелевой функции в случае нечетного спаривания в модели (4). В соответствии с (8) для нечетного случая имеем

$$\Delta(\xi) = \begin{cases} \Delta_0(T) \sin\left(\frac{\pi}{2} \frac{\xi}{\omega_c}\right) & \text{при } |\xi| < \omega_c, \\ 0 & \text{при } |\xi| > \omega_c \end{cases} \quad (15)$$

а температурная зависимость  $\Delta_0(T)$  определяется вытекающим из (1) уравнением

$$1 = g \int_0^{\omega_c} d\xi' \sin^2\left(\frac{\pi}{2} \frac{\xi'}{\omega_c}\right) \frac{\operatorname{th}\left(\frac{1}{2T} \sqrt{\xi'^2 + \Delta_0^2(T) \sin^2\left(\frac{\pi}{2} \frac{\xi'}{\omega_c}\right)}\right)}{\sqrt{\xi'^2 + \Delta_0^2(T) \sin^2\left(\frac{\pi}{2} \frac{\xi'}{\omega_c}\right)}}, \quad (16)$$

решения которого для ряда значений спаривательной константы  $g$  представлены на рис. 2. Температурная зависимость  $\Delta_0(T)$  напоминает таковую в теории БКШ, но не совпадает с ней. В частности, при больших константах спаривательного взаимодействия,  $g \gg g_c$ , получается  $2\Delta_0(T=0)/T_c \approx 5$  с тенденцией к уменьшению при уменьшении  $g$ .

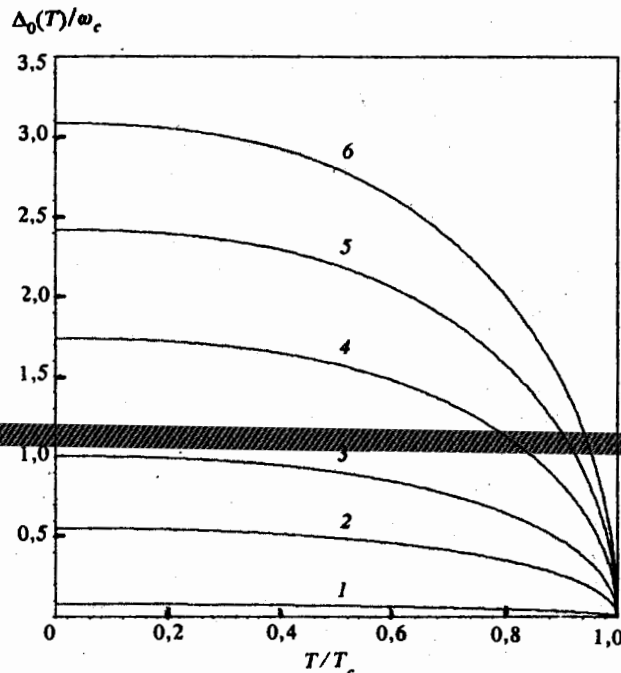


Рис. 2. Температурная зависимость  $\Delta_0(T)$  в случае нечетного спаривания для ряда значений спаривательной константы связи: 1 –  $g = 1,22$ ; 2 – 1,5; 3 – 2,0; 4 – 3,0; 5 – 4,0; 6 – 5,0

Туннельную плотность состояний нетрудно вычислить стандартным образом [2]. Используя (15), получаем

$$\frac{N(E)}{N_0(0)} = \begin{cases} E \left[ \varepsilon + \frac{\pi}{4} \frac{\Delta_0^2(T)}{\omega_c} \sin \left( \pi \frac{\varepsilon}{\omega_c} \right) \right]^{-1} & \text{при } |\varepsilon| < \omega_c \\ 1 & \text{при } \omega_c < |\varepsilon| \end{cases}, \quad (17)$$

где  $\varepsilon$  определяется из уравнения

$$\varepsilon^2 + \Delta_0^2(T) \sin^2 \left( \frac{\pi}{2} \frac{\varepsilon}{\omega_c} \right) = E^2.$$

Соответствующие зависимости для разных температур приведены на рис. 3. Плотность состояний всегда бесщелевая, псевдошель замывается с ростом температуры, при этом положения максимумов плотности состояний довольно слабо зависят от температуры. Эти результаты качественно близки к полученным в работе [2] для случая взаимодействия (3) и могут сравниваться с известными особенностями щели в ВТСП. Если определять отношение

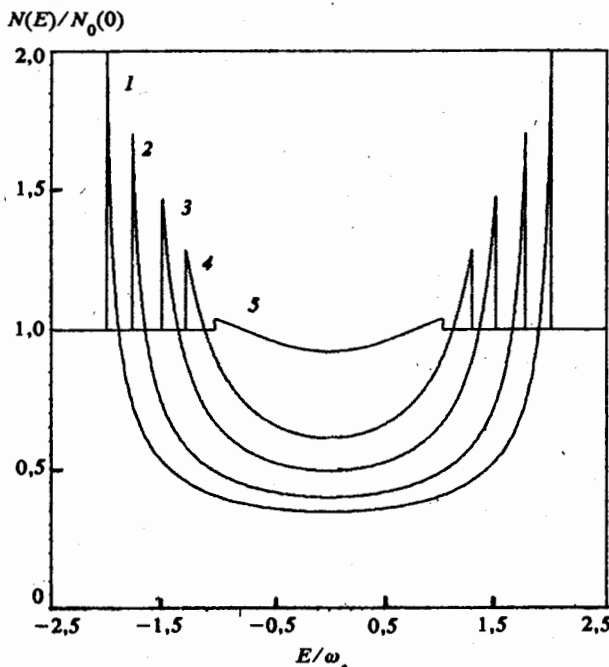


Рис. 3. Плотность состояний в модели нечетного спаривания для ряда характерных температур: 1 –  $T/T_c = 0$ ; 2 – 0,6; 3 – 0,8; 4 – 0,9; 5 – 0,99. Значение спаривательной константы принято равным  $g = 3$

$2\Delta/T_c$  по положению максимумов туннельной плотности состояний, получим  $2\Delta/T_c \approx 6$ .

### 3. Влияние нормальных примесей

Представляет интерес исследование влияния нормальных (немагнитных) примесей (беспорядка) на нечетное спаривание. Хорошо известно [1,8], что такой беспорядок практически не влияет на традиционное четное спаривание. В рассматриваемом случае уравнения для нормальной и аномальной функций Грина имеют стандартный вид [8], справедливый в пределе слабого рассеяния:

$$G(\omega\xi) = -\frac{i\omega + \xi}{\omega^2 + \xi^2 + |\tilde{\Delta}(\xi)|^2}, \quad (18)$$

$$F(\omega\xi) = \frac{\tilde{\Delta}^*(\xi)}{\omega^2 + \xi^2 + |\tilde{\Delta}(\xi)|^2},$$

где  $\omega = (2n + 1)\pi T$ ,

$$\tilde{\omega} = \omega - \frac{\gamma}{\pi} \int_{-\infty}^{\infty} d\xi \frac{\omega}{\omega^2 + \xi^2 + |\tilde{\Delta}(\xi)|^2}, \quad (19)$$

$$\tilde{\Delta}(\xi) = \Delta(\xi) + \frac{\gamma}{\pi} \int_{-\infty}^{\infty} d\xi' \frac{\tilde{\Delta}^*(\xi')}{\tilde{\omega}^2 + \xi'^2 + |\tilde{\Delta}(\xi')|^2} = \Delta(\xi).$$

Здесь  $\gamma = \pi c V_0^2 N(0)$  — частота рассеяния электронов на точечных примесях с потенциалом  $V_0$ , хаотически распределенных и имеющих концентрацию  $c$ . Интеграл во втором уравнении (19) обращается в нуль из-за нечетности зависимости  $\Delta(\xi)$ , и перенормировка щелевой функции из-за рассеяния на примесях отсутствует. Именно это обстоятельство и является причиной сильного влияния примесей на нечетное спаривание. Заметим, что такая же ситуация имеет место в случае анизотропного спаривания, например,  $d$ -типа [9,10].

Уравнение для щели имеет теперь вид

$$\Delta(\xi) = -N(0)T \sum_{\omega_n=-\infty}^{\infty} \int d\xi' V_2(\xi, \xi') \frac{\Delta^*(\xi')}{\tilde{\omega}^2 + \xi'^2 + |\Delta^2(\xi')|^2}. \quad (20)$$

Вблизи  $T_c$  это уравнение можно линеаризовать и мы получаем

$$\Delta(\xi) = -N(0)T \sum_{\omega_n=-\infty}^{\infty} \int d\xi' V_2(\xi, \xi') \frac{\Delta(\xi')}{\tilde{\omega}^2 + \xi'^2}, \quad (21)$$

где  $\tilde{\omega} = \omega_n + \gamma \operatorname{sign} \omega_n$ .

Сумму по мацубаровским частотам в (21) можно вычислить обычным образом, переходя к интегрированию в комплексной плоскости частоты. В результате, линеаризованное уравнение для щели можно записать несколькими эквивалентными способами:

$$\Delta(\xi) = -N(0) \int_{-\infty}^{\infty} d\xi' V_2(\xi, \xi') \int_{-\infty}^{\infty} \frac{d\omega}{\pi} \operatorname{th} \left( \frac{\omega}{2T} \right) \operatorname{Re} G^R(-\omega \xi') \operatorname{Im} G^R(\omega \xi') \Delta(\xi'), \quad (22)$$

где  $G^R(\omega \xi) = (\omega - \xi + i\gamma)^{-1}$  — запаздывающая функция Грина нормального металла с примесями. В другой записи получаем

$$\Delta(\xi) = -N(0) \int_{-\infty}^{\infty} d\xi' V_2(\xi, \xi') \int_{-\infty}^{\infty} \frac{d\omega}{2\pi} \frac{1}{\xi'} \operatorname{th} \left( \frac{\omega + \xi'}{2T} \right) \frac{\gamma}{\omega^2 + \gamma^2} \Delta(\xi'). \quad (23)$$

Уравнение типа (22) было получено для сверхпроводников с анизотропным  $d$ -спариванием в работе [10], мы пользуемся в дальнейшем уравнением (23).

Для модельного взаимодействия (4) щель снова имеет вид (15), а уравнение для  $T_c$  непосредственно следует из (23):

$$1 = g \int_0^{\omega_c} \frac{d\xi'}{\xi'} \sin^2 \left( \frac{\pi}{2} \frac{\xi'}{\omega_c} \right) \int_{-\infty}^{\infty} \frac{d\omega}{\pi} \operatorname{th} \left( \frac{\omega + \xi'}{2T_c} \right) \frac{\gamma}{\omega^2 + \gamma^2}. \quad (24)$$

На рис. 4 показаны зависимости  $T_c$  от  $\gamma$  для ряда характерных значений спаривательной константы  $g$ , полученные решением уравнения (24). Видно, что рассеяние на нормальных примесях сильно подавляет нечетное спаривание. Сверхпроводимость исчезает при  $\gamma \sim T_{c0}$ , где  $T_{c0}$  — температура

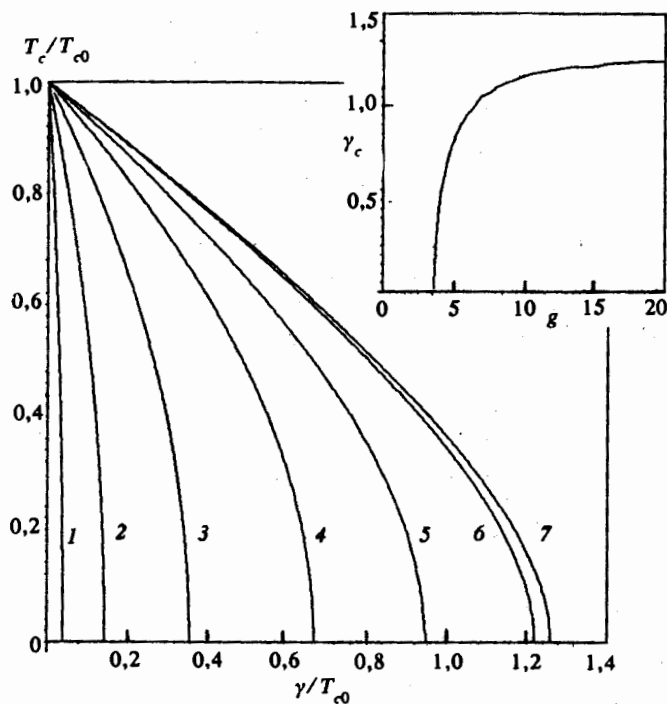


Рис. 4. Зависимость  $T_c$  нечетного спаривания от частоты рассеяния  $\gamma$  для разных значений спаривательной константы  $g$ : 1 —  $g = 1,22$ ; 2 —  $1,24$ ; 3 —  $1,30$ ; 4 —  $1,50$ ; 5 —  $2,0$ ; 6 —  $5,0$ ; 7 —  $10,0$ . На вставке — зависимость критической частоты рассеяния от спаривательной константы связи

перехода в отсутствие рассеяния ( $\gamma \rightarrow 0$ ), определяемая уравнением (14). Разрушение сверхпроводимости в данном случае происходит даже быстрее, чем при введении магнитных примесей в традиционный сверхпроводник [11]. Это проявляется, в частности, в быстром уменьшении области существования сверхпроводимости на фазовой диаграмме (рис. 4) при  $g \rightarrow g_c$  и в отсутствии универсальной зависимости  $T_c(\gamma)$ , характерной для случая магнитных примесей.

В случае модельного взаимодействия (3) зависимость  $T_c$  от  $\gamma$  можно найти непосредственным численным решением линейного интегрального уравнения (23). Для вычисления минимального характеристического числа, определяющего константу связи  $g$  при данной температуре  $T$ , использовались метод следов и метод Келлога [12]. При вычислении интегралов от функций, пропорциональных  $|\xi - \xi'|^{-2/3}$ , использовались методы расчета сингулярных интегралов на отрезке [13], позволяющие вычислять такие интегралы с точностью порядка точности квадратурных формул Гаусса. Процедура вычисления минимальных характеристических чисел оказалась весьма чувствительной к точности вычисления симметризованных ядер. Удовлетворительные результаты были получены выражением этих ядер через гипергеометрические функции, которые вычислялись суммированием соответствующих производящих рядов с заданной точностью. Метод Келлога при достаточно

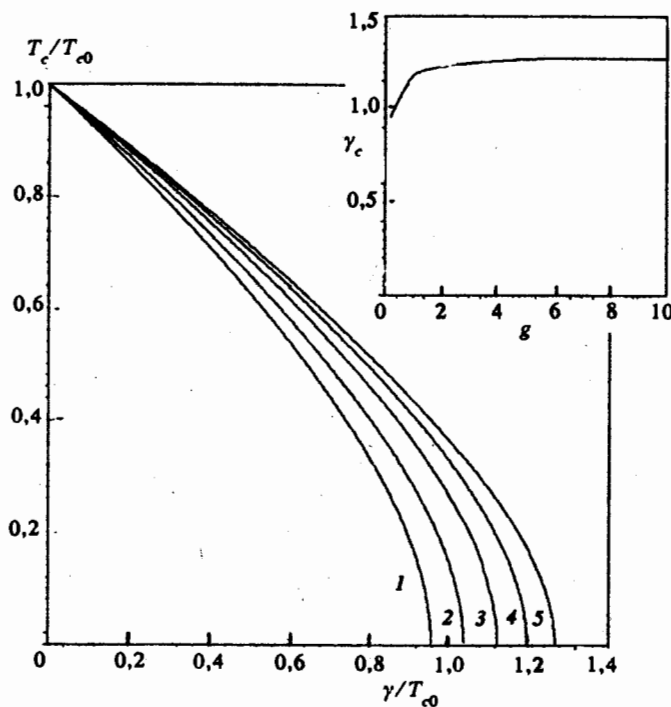


Рис. 5. Зависимость  $T_c$  нечетного спаривания от частоты рассеяния  $\gamma$  для разных значений спаривательной константы  $g$  в модели с "реалистическим" взаимодействием (3): 1 —  $g = 0,17$ ; 2 — 0,25; 3 — 0,72; 4 — 1,15; 5 — 6,41. На вставке — зависимость критической частоты рассеяния от спаривательной константы связи

высокой скорости в сравнении с методом следов при малых константах связи имеет тенденцию к неустойчивости. Соответствующие графики  $T_c(\gamma)$  приведены на рис. 5. Видно, что качественная картина, полученная в более простой модели, полностью сохраняется. Нетрудно убедиться, что критическая частота рассеяния  $\gamma_c$ , соответствующая разрушению сверхпроводимости ( $T_c(\gamma \rightarrow \gamma_c) \rightarrow 0$ ), определяется интегральным уравнением

$$\Delta(\xi) = -N(0) \int_{-\infty}^{\infty} d\xi' V_2(\xi, \xi') \frac{1}{\pi \xi'} \operatorname{arctg} \left( \frac{\xi'}{\gamma_c} \right) \Delta(\xi'), \quad (25)$$

которое для взаимодействия (4) сводится к

$$1 = \frac{2}{\pi} g \int_0^{\omega_c} \frac{d\xi'}{\xi'} \sin^2 \left( \frac{\pi}{2} \frac{\xi'}{\omega_c} \right) \operatorname{arctg} \left( \frac{\xi'}{\gamma_c} \right). \quad (26)$$

При  $g \approx g_c$  отсюда следует зависимость  $\gamma_c \propto (g - g_c) \rightarrow 0$ , отражающая сужение области сверхпроводимости на рис. 4. При  $g \gg g_c$  (предел "сильной связи") имеем универсальный результат:

$$\gamma_c/T_{c0} = 4/\pi \approx 1,273.$$

Фактически, этот результат, так же как и зависимость  $T_c(y)$ , при  $g \gg g_c$  не зависит от выбора модельного потенциала  $V_2(\xi, \xi')$ . В частности, универсальность отношения  $\gamma_c/T_{c0}$  следует из того, что уравнения (14) для  $T_{c0}$  и (25) для  $\gamma_c$  принимают при  $T_{c0} \gg \omega_c$  и  $\gamma_c \gg \omega_c$  (т.е. при  $g \gg g_c$ ) одинаковый вид:

$$\Delta(\xi) = -\frac{N(0)}{4T_{c0}} \int_{-\infty}^{\infty} d\xi' V_2(\xi, \xi') \Delta(\xi') , \quad (27)$$

$$\Delta(\xi) = -\frac{N(0)}{\pi\gamma_c} \int_{-\infty}^{\infty} d\xi' V_2(\xi, \xi') \Delta(\xi') . \quad (28)$$

Эквивалентность этих уравнений позволяет приравнять коэффициенты перед интегралами, что и дает приведенный выше результат для отношения  $\gamma_c/T_{c0}$ . Аналогичным образом нетрудно показать, что уравнение (23) при  $T_c(y) \gg \omega_c$  сводится к виду

$$\Delta(\xi) = -\frac{N(0)}{4T_c(y)} f\left(\frac{\gamma}{T_c(y)}\right) \int_{-\infty}^{\infty} d\xi' V_2(\xi, \xi') \Delta(\xi') , \quad (29)$$

где

$$f(x) = \int_{-\infty}^{\infty} \frac{d\omega}{\pi} \frac{1}{\text{ch}^2(\omega/2)} \frac{x}{x^2 + \omega^2} .$$

Соответственно, сравнивая (29) и (27), видим, что в пределе сильной связи зависимость  $T_c(y)$  определяется следующим универсальным уравнением:

$$\frac{T_c(y)}{T_{c0} f(y/T_c(y))} = 1 . \quad (30)$$

Подчеркнем, впрочем, что результаты для сильной связи носят достаточно условный характер и, как уже отмечено выше, должны быть существенно модифицированы в духе работы [7].

Результаты для  $\gamma_c$  в случае модельного взаимодействия (4), а также полученные численным решением уравнения (25) с модельным взаимодействием (3) приведены соответственно на вставках рис. 4 и 5.

#### 4. Заключение

В заключение сформулируем основные результаты. В работе предложена простая модель спаривающего взаимодействия, которая позволяет получить и полностью исследовать точные решения интегральных уравнений для щели в теории БКШ как в случае более или менее традиционного четного (по  $k - k_F$ ), так и для экзотического нечетного спаривания. Показано, что нечетное спаривание становится более выгодным при достаточно сильном отталкивании электронов и, вообще говоря, при достаточно сильном спаривающем взаимодействии. Последнее обстоятельство (сильная связь) заслу-

живает дополнительного, более строгого исследования перехода от куперовских пар к компактным бозонам. Нечетное спаривание приводит к бесщелевой картине сверхпроводимости и к другим отличиям от традиционной теории БКШ, таким как необычная эволюция псевдошели в плотности состояний, большое отношение  $2\Delta_0/T_c$  и т.д., которые привлекательны с точки зрения теории ВТСП.

В то же время нормальные примеси (беспорядок) сильно подавляют нечетное спаривание. Этот эффект подавления еще сильнее, чем в случае магнитных примесей в обычных сверхпроводниках. Даже в пределе сильной связи сверхпроводимость разрушается при  $y \sim T_{c0}$ , при уменьшении константы спаривательного взаимодействия происходит резкое сокращение области сверхпроводимости на фазовой диаграмме.

Известно, что ВТСП соединения достаточно неустойчивы к введению нормального беспорядка [14]. Вместе с тем, если исключить особые случаи типа введения примесей Zn, подавление сверхпроводимости в них происходит достаточно близко к вызванному беспорядком переходу металл — диэлектрик, который, скорее всего, связан с андерсоновской локализацией носителей заряда [14]. Этот переход происходит при  $\gamma \sim E_F \gg T_{c0}$ , так что к этому моменту нечетная сверхпроводимость должна быть полностью разрушена. По-видимому, это обстоятельство делает нечетное спаривание маловероятным механизмом для объяснения ВТСП в металлооксидах. Вместе с тем, нельзя исключить, что ряд эффектов в них можно объяснить быстрым подавлением нечетной компоненты сверхпроводящего параметра порядка при разупорядочении с одновременным сохранением четной компоненты, для которой сохраняется устойчивость к разупорядочению. Этот вопрос заслуживает дальнейшего исследования.

Работа поддерживается Научным советом по проблеме ВТСП и выполнена в рамках проекта № 90135 Государственной программы исследований по сверхпроводимости. Эта работа также частично поддерживается грантом Фонда Сороса, присужденным Американским физическим обществом.

## ПРИЛОЖЕНИЕ

В методических целях полезно получить уравнения, определяющие  $T_c$  для четного и нечетного спаривания, исходя из нормальной фазы, т.е. как уравнения, определяющие точки соответствующих куперовских неустойчивостей. Рассмотрим двухчастичную функцию Грина в куперовском канале, представленную на рис. 6. Удобно связать неустойчивость нормального состояния с расходностью этой функции, частично просуммированной по мацубаровским частотам:

$$\Phi_{pp'}(\Omega, q) = -T \sum_{\omega\omega'} \Phi_{pp'}(\omega, \omega', \Omega, q) \quad (31)$$

при  $q = \Omega = 0$ . Рассмотрим снова электрон-электронное взаимодействие  $V(\xi, \xi')$ , состоящее из двух частей, определенных в (2) и (4). В силу изотропии системы  $\Phi_{pp'}(0, 0)$  может быть представлена в виде функции  $\Phi(\xi, \xi')$ , которая определяется уравнением

$$\Phi(\xi, \xi') = Z(\xi)\delta_{\xi\xi'} + Z(\xi)N(0) \int_{-\infty}^{\infty} d\xi' V(\xi - \xi')\Phi(\xi, \xi'), \quad (32)$$

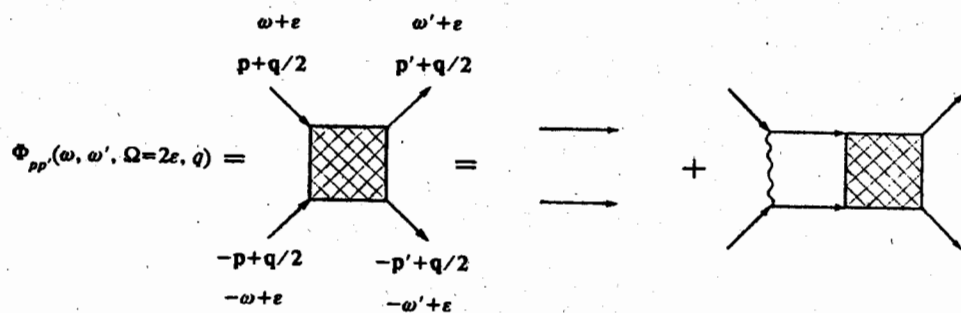


Рис. 6. Двухчастичная функция Гринна в куперовском канале

где

$$Z(\xi) = -T \sum_{\omega} G(\omega\xi)G(-\omega\xi) = -\frac{1}{2\xi} \operatorname{th}\left(\frac{\xi}{2T}\right). \quad (33)$$

С учетом (2) и (4) имеем

$$\begin{aligned} \Phi(\xi, \xi') &= Z(\xi)\delta_{\xi\xi'} + Z(\xi) \left\{ \mu \int_{-E_F}^{E_F} d\xi' \Phi(\xi, \xi') - \right. \\ &\quad - g \cos\left(\frac{\pi}{2} \frac{\xi}{\omega_c}\right) \int_{-\omega_c}^{\omega_c} d\xi' \cos\left(\frac{\pi}{2} \frac{\xi'}{\omega_c}\right) \Phi(\xi, \xi') - \\ &\quad \left. - g \sin\left(\frac{\pi}{2} \frac{\xi}{\omega_c}\right) \int_{-\omega_c}^{\omega_c} d\xi' \sin\left(\frac{\pi}{2} \frac{\xi'}{\omega_c}\right) \Phi(\xi, \xi') \right\} \end{aligned} \quad (34)$$

при  $|\xi|, |\xi'| < \omega_c$  и соответственно

$$\Phi(\xi, \xi') = Z(\xi)\delta_{\xi\xi'} + Z(\xi) \mu \int_{-E_F}^{E_F} d\xi' \Phi(\xi, \xi') \quad (35)$$

при  $|\xi|$  или  $|\xi'| > \omega_c$ ,  $|\xi|, |\xi'| < E_F$

Определим функции

$$\begin{aligned} f_c(\xi) &= \int_{-\omega_c}^{\omega_c} d\xi' \cos\left(\frac{\pi}{2} \frac{\xi'}{\omega_c}\right) \Phi(\xi, \xi'), \\ f_s(\xi) &= \int_{-\omega_c}^{\omega_c} d\xi' \sin\left(\frac{\pi}{2} \frac{\xi'}{\omega_c}\right) \Phi(\xi, \xi'), \\ f(\xi) &= \int_{-E_F}^{E_F} d\xi' \Phi(\xi, \xi'), \end{aligned} \quad (36)$$

для которых, как нетрудно видеть из (34), (35), возникает следующая система уравнений:

$$\begin{aligned} f(\xi) &= Z(\xi) - \mu W' f(\xi) + g F f_c(\xi), \\ f_c(\xi) &= Z(\xi) \cos \left( \frac{\pi}{2} \frac{\xi}{\omega_c} \right) - \mu F f(\xi) + g F_c f_c(\xi), \\ f_s(\xi) &= Z(\xi) \sin \left( \frac{\pi}{2} \frac{\xi}{\omega_c} \right) + g F_s f_s(\xi), \end{aligned} \quad (37)$$

где использованы обозначения, введенные в (11).

Видим, что четные и нечетные уравнения разделились. Нечетное спаривание связано с расходностью функции  $f_s(\xi)$ , соответствующее условие неустойчивости имеет вид  $1 = gF_s$ , что совпадает с (14). Первые два уравнения в (37) определяют неустойчивость относительно четного спаривания. Легко увидеть, что

$$f_c(\xi) = Z(\xi) \left\{ \cos \left( \frac{\pi}{2} \frac{\xi}{\omega_c} \right) - \frac{\mu F}{1 + \mu W'} \right\} \left[ 1 - gF_c + \frac{g\mu F^2}{1 + \mu W'} \right]^{-1},$$

и условие неустойчивости имеет вид

$$1 = gF_c - g\mu \frac{F^2}{1 + \mu W'}, \quad (38)$$

что совпадает с (12).

#### ЛИТЕРАТУРА

- П. де Жен, *Сверхпроводимость металлов и сплавов*, Мир, Москва (1968).
- F. Mila, E. Abrahams, Phys. Rev. Lett. 67, 2379 (1991).
- E. Abrahams, J. Phys. Chem. Solids 53, 1487 (1992).
- Э.З. Кучинский, М.В. Садовский, Письма в ЖЭТФ 57, 494 (1993).
- D.A. Kirzhnitz, E.G. Maksimov, and D.I. Khomskii, J. Low Temp. Phys. 10, 79 (1973).
- Проблема высокотемпературной сверхпроводимости*, под ред. В.Л. Гinzбурга и Д.А. Киржница, Наука, Москва (1977), гл. 2.
- P. Nozieres and S. Schmitt-Rink, J. Low Temp. Phys. 59, 195 (1985).
- А.А. Абрикосов, Л.П. Горьков, ЖЭТФ 35, 1158 (1958); ЖЭТФ 36, 319 (1959).
- Y. Suzumura and H.J. Schulz, Phys. Rev. B 39, 11398 (1989).
- P. Monthoux, A.V. Balatsky, and D. Pines, Phys. Rev. B 46, 14803 (1992).
- А.А. Абрикосов, Л.П. Горьков, ЖЭТФ 39, 1781 (1960).
- С.Г. Михлин, Х.Л. Смолинский, *Приближенные методы решения дифференциальных и интегральных уравнений*, Наука, Москва (1965).
- А.А. Корнейчук, в сб. *Численные методы решения дифференциальных и интегральных уравнений и квадратурные формулы*, Наука, Москва (1964).
- Б.А. Алексашин, В.И. Воронин, С.В. Верховский и др., ЖЭТФ 95, 678 (1989).